

оказываются статистически неэффективными, в силу чего не следует ожидать положительных эффектов обнаружения при применении статистик контрастной обработки, основанных на отношениях элементов выборок с показателем степени, большим единицы.

## ЛИТЕРАТУРА

1. Карпова О. М., Нежевенко Е. С., Уманцев Г. Д. Распознавание изображений известной формы на фотоснимках.—«Автометрия», 1975, № 3, с. 68.
2. Веряскин Ф. Ф., Выдрин Л. В., Давыдов В. Т., Мантуш Т. Н., Нежевенко Е. С., Панков Б. Н., Твердохлеб П. Е. Оптико-электронный процессор для распознавания изображений.—«Автометрия», 1975, № 3, с. 73.
3. Левин Б. Р. Оптимальные алгоритмы обнаружения сигналов, устойчивые к изменению априорных данных.—«Изв. высш. учеб. заведений. Радиоэлектроника», 1970, т. XIII, вып. 2, с. 107.
4. Дмитриенко А. Н., Корадо В. А. О непараметрических свойствах обнаружителей, оптимальных для гауссовой помехи с неизвестной интенсивностью.—«Радиотехника и электроника», 1972, т. XVII, вып. 10, с. 2071.
5. Левин Б. Р. Теоретические основы статистической радиотехники. Кн. 3. М., «Сов. радио», 1976.
6. Прокофьев В. Н. Инвариантное правило некогерентного обнаружения сигнала на фоне шумов неизвестного уровня.—«Радиотехника и электроника», 1973, т. XVIII, вып. 3, с. 547.
7. Артамонов А. Ф., Шишкун И. Ф. Контрастный прием на нелинейном приемнике.—«Радиотехника», 1972, т. 26, № 6, с. 94.
8. Нестерук В. Ф., Порфириева Н. Н., Попов Г. П. Вопросы теории инвариантного обнаружения.—«Вопросы радиотехники. Сер. общетехн.», 1967, т. 15, с. 37.
9. Шметтерер Л. Введение в математическую статистику. М., «Наука», 1976.
10. Кендалл М. Д., Стьюарт А. Статистические выводы и связи. М., «Наука», 1973.
11. Баталов Ю. В., Мирошников М. М., Порфириева Н. Н. О контрастном методе обработки фотографий Марса.—«ОМП», 1973, № 9, с. 11.
12. Богданович В. А., Прокофьев В. Н. Оптимальный обнаружитель сигналов в неизвестных шумах.—«Изв. высш. учеб. заведений. Радиоэлектроника», 1970, т. 13, вып. 2, с. 157.
13. Градштейн И. С., Рыжик И. М. Таблицы интегралов, сумм, рядов, произведений. М., Физматиз, 1963.
14. Фихтенгольц Г. М. Курс дифференциального и интегрального исчисления. Т. II. М., «Наука», 1966, с. 560.

Поступила в редакцию 17 мая 1977 г.

УДК 621.317

Ю. Д. ПОПОВ

(Киев)

## ОПТИМИЗАЦИЯ ОДНОГО МЕТОДА ОЦЕНКИ ПАРАМЕТРОВ ПРИ ЦИКЛИЧЕСКИХ ИЗМЕРЕНИЯХ

Следуя работе [1], рассмотрим систему равенств

$$x = (k_1 + \hat{\varphi}_1)/d_1 = (k_2 + \hat{\varphi}_2)/d_2 = \dots = (k_m + \hat{\varphi}_m)/d_m, \quad (1)$$

где  $x$  — восстанавливаемая величина, принимающая значения из интервала  $[0, 1]$ ;  $k_i = [d_i x]^+$ ;  $\hat{\varphi}_i = \{d_i x\}^+$  — соответственно целая и дробная части от  $d_i x$ ;  $d_i$  — заданные числа, удовлетворяющие соотношению  $0 < d_1 < d_2 < \dots < d_m$ . Величина  $x$  подлежит оценке по наблюденным значениям  $\varphi_1, \varphi_2, \dots, \varphi_m$ , при этом  $k_1, k_2, \dots, k_m$  не известны. Заметим, что система (1) избыточна, если  $\varphi_i$  измеряются безошибочно и на  $d_i$ .

наложены некоторые простые ограничения (так, если  $d_1 < 1$ , то  $\hat{x} = \hat{\varphi}_1/d_1$  точно оценивает  $x$ ). На практике, однако, безошибочное измерение  $\varphi_i$  невозможно, и поэтому в системе (1)  $\hat{\varphi}_i$  заменяются на  $\{\varphi_i + \psi_i\}^+$ , где  $\psi_i$  — некоторые случайные величины,  $\varphi_i$  — истинные значения  $\varphi_i$ .

Поставленная задача описывает проблему устранения многозначности циклических измерений в фазометрических системах. Один из распространенных в инженерной практике методов ее решения — последовательный пересчет измерений из одной шкалы в другую — задается следующим алгоритмом. В качестве оценки  $x$  в  $i+1$ -й итерации выбирают:

$$\begin{aligned}\hat{x}_{i+1} &= \frac{1}{d_{i+1}} [d_{i+1}\hat{x}_i - \hat{\varphi}_{i+1} + 0,5]^+ + \frac{\hat{\varphi}_{i+1}}{d_{i+1}}; \\ \hat{x}_1 &= \hat{\varphi}_1/d_1, \quad i = 1, 2, \dots, m-1, d_1 < 1.\end{aligned}\quad (2)$$

Формулы, аналогичные приведенным, изучались ранее в работах [2—5].

Полагая  $\hat{x}_i = x + \delta_i$  и подставляя это выражение в (2), получим последовательный пересчет измерений из одной шкалы в другую — зации оценки  $\hat{x}_{i+1}$  через  $\delta_i$ :

$$\begin{aligned}\delta_{i+1} &= \frac{1}{d_{i+1}} [d_{i+1}\delta_i - \psi_{i+1} + 0,5]^+ + \frac{\psi_{i+1}}{d_{i+1}}; \\ \delta_1 &= -\frac{1}{d_1} [\varphi_1 + \psi_1]^+ + \frac{\psi_1}{d_1}, \quad i = 1, 2, \dots, m-1.\end{aligned}\quad (3)$$

Решая (3), найдем ошибку  $\delta_m$  оценки  $x$  с помощью  $\hat{x}_m$ :

$$\begin{aligned}\delta_m &= \frac{1}{d_m} \left[ \frac{d_m}{d_{m-1}} \left( \left[ \frac{d_{m-1}}{d_{m-2}} \left( \dots \left( \left[ \frac{d_3}{d_2} \left( \left[ \frac{d_2}{d_1} (-[\varphi_1 + \psi_1]^+ + \psi_1) - \psi_2 + 0,5 \right]^+ + \psi_2 \right) - \psi_3 + 0,5 \right]^+ + \psi_3 \right) \dots \right) - \psi_{m-1} + 0,5 \right]^+ + \psi_{m-1} \right) - \psi_m + 0,5 \right]^+ + \frac{\psi_m}{d_m}.\end{aligned}\quad (4)$$

Заметим, что (4) принимает простой вид, если отношение  $d_{i+1}/d_i$  — целое число. Тогда

$$\delta_m = -\frac{1}{d_1} [\varphi_1 + \psi_1]^+ + \sum_{i=1}^{m-1} \frac{1}{d_{i+1}} \left[ \frac{d_{i+1}}{d_i} \psi_i - \psi_{i+1} + 0,5 \right]^+ + \frac{\psi_m}{d_m}, \quad (5)$$

Представим формулы (4) и (5) в виде

$$\delta_m = \Delta_m/d_m + \psi_m/d_m, \quad (6)$$

где  $\Delta_m/d_m$  — ошибка, связанная с неоднозначностью восстановления  $x$  (аномальная ошибка), и  $\psi_m/d_m$  определяет точность оценки  $x$  с помощью  $\hat{x}_m$ .

Для ошибки, выраженной в форме (4) и (5), величина  $\Delta_m$  имеет вид соответственно

$$\begin{aligned}\Delta_m &= \left[ \frac{d_m}{d_{m-1}} \left( \left[ \frac{d_{m-1}}{d_{m-2}} \left( \dots \left( \left[ \frac{d_3}{d_2} \left( \left[ \frac{d_2}{d_1} (-[\varphi_1 + \psi_1]^+ + \psi_1) - \psi_2 + 0,5 \right]^+ + \psi_2 \right) - \psi_3 + 0,5 \right]^+ + \psi_3 \right) \dots \right) - \psi_{m-1} + 0,5 \right]^+ + \psi_{m-1} \right) - \psi_m + 0,5 \right]^+ + \frac{\psi_m}{d_m};\end{aligned}\quad (7)$$

$$\Delta_m = d_m \left( -\frac{1}{d_1} [\varphi_1 + \psi_1]^+ + \sum_{i=1}^{m-1} \frac{1}{d_{i+1}} \left[ \frac{d_{i+1}}{d_i} \psi_i - \psi_{i+1} + 0,5 \right]^+ \right). \quad (8)$$

Теперь нетрудно видеть, что слагаемое  $0,5$  в соотношениях (2) вводится для существенного уменьшения вероятности ошибки неоднозначности восстановления  $x$  и соответствует тому случаю, когда величины  $\psi_i$  симметрично распределены и имеют среднее значение  $M_{\psi_i} = 0$  (см. [3]).

Анализируя полученные представления ошибки  $\delta_m$ , приходим к следующей естественной постановке задачи анализа и синтеза фазометрической системы.

Исходя из требуемой точности оценки  $x$ , задаем  $d_m$ . Выбираем  $d_1 < 1$  и уровень значимости  $\alpha$ , близкий к нулю. При фиксированных  $d_1, d_m$  и  $\alpha$ , используя совместное распределение вектора ошибок  $(\psi_1, \dots, \psi_m)$ , находим  $m$  и величины  $d_2, \dots, d_{m-1}$  так, чтобы выполнялось соотношение

$$P_{d_2, \dots, d_{m-1}} \{\Delta_m = 0\} \geq 1 - \alpha.$$

При этом, естественно, погрешность в оценке  $x$  с помощью  $\hat{x}_m$  равна  $\psi_m/d_m$  с вероятностью, не меньшей  $1-\alpha$ . Если наперед задается и  $m$ , то задача сводится к отысканию  $d_2, \dots, d_{m-1}$ , максимизирующих

$$P_{d_2, \dots, d_{m-1}} \{\Delta_m = 0\}$$

(здесь  $\alpha$  задавать не нужно).

Заметим, что если существует совместная плотность вероятностей  $f(t_1, \dots, t_m)$  вектора ошибок  $(\psi_1, \dots, \psi_m)$ , то

$$P_{d_2, \dots, d_{m-1}}\{\Delta_m = 0\} = \int \dots \int_D f(t_1, \dots, t_m) dt_1 \dots dt_m, \quad (9)$$

также

$$D = \left\{ (t_1, \dots, t_m) : \left[ \frac{d_m}{d_{m-1}} \left( \left[ \frac{d_{m-1}}{d_{m-2}} \left( \dots \left( \left[ \frac{d_3}{d_2} \left( \left[ \frac{d_2}{d_1} (-[\varphi_1 + t_1]^+ + t_1) - t_2 + 0,5 \right]^+ + t_2 \right) - t_3 + 0,5 \right]^+ + t_3 \right) \dots \right) - t_{m-1} + 0,5 \right]^+ + t_{m-1} \right) - t_m + 0,5 \right]^+ = 0 \right\}.$$

Явное задание области  $D$  через ограничения, налагаемые непосредственно на каждое  $t_i$  (типа  $a_i \leq t_i < b_i$ ), будет показано далее в примере, к которому мы сейчас и перейдем.

к которому мы сейчас и перейдем.

При мер. Заданы  $m=3$ ,  $d_1$  и  $d_3$ . Случайные величины  $\psi_i$ ,  $i=1, 2, 3$ , независимы и распределены по нормальному закону с параметрами  $(0, \sigma_i)$ . Предположим также, что переброс в первой шкале отсутствует ( $[\psi_1 + \psi_3]^+ = 0$ ). Это так, если  $\psi_1$  близко к  $d_1/2$ , а  $\psi_3$  невелико. К тому же указанный переброс может быть легко обнаружен, если рассматривать  $\psi_1$  не из интервала  $(0, d_1)$ , а из более узкого интервала  $(\epsilon, d_1 - \epsilon)$ ,  $\epsilon > 0$ . При этом

$$\Delta_3 = \left[ \frac{d_3}{d_2} \left[ \frac{d_2}{d_1} \psi_1 - \psi_2 + 0,5 \right] + \frac{d_3}{d_2} \psi_2 - \psi_3 + 0,5 \right]^+$$

и область  $D$  будет иметь вид

$$D = \left\{ (t_1, t_2, t_3) : \left[ \frac{d_3}{d_s} \left[ \frac{d_2}{d_1} t_1 - t_2 + 0,5 \right]^+ + \frac{d_3}{d_s} t_2 - t_3 + 0,5 \right]^+ = 0 \right\}.$$

Нетрудно видеть, что можно также записать  $D = \bigcup_{k=-\infty}^{\infty} D_k$ , где  $D_k$  задается системой неравенств

$$\begin{cases} k - 0,5 \leq \frac{d_2}{d_1} t_1 - t_2 < k + 0,5; \\ -\frac{d_3}{d_2} k - 0,5 \leq \frac{d_3}{d_2} t_2 - t_3 < -\frac{d_3}{d_2} k + 0,5. \end{cases}$$

Теперь, принимая во внимание, что

$$f(t_1, t_2, t_3) = \prod_{i=1}^3 \frac{1}{V^{2\pi} \sigma_i} \exp\left\{-\frac{t_i^2}{2\sigma_i^2}\right\},$$

из соотношения (9) после несложных преобразований получим

$$P_{d_2}\{\Delta_3 = 0\} = H \sum_{k=-\infty}^{\infty} \int_{k-0,5}^{k+0,5} \int_{-\frac{d_3}{d_2}k-0,5}^{-\frac{d_3}{d_2}k+0,5} \exp\left\{-\frac{1}{2}[Au_1^2 + Bu_1 u_2 + Cu_2^2]\right\} du_1 du_2, \quad (10)$$

где  $H, A, B, C$  суть функции от  $d_2$  и параметров  $d_1, d_3, \sigma_1, \sigma_2, \sigma_3$  и определяются соотношениями:

$$\begin{aligned} H &= \frac{d_1}{2\pi V Q}; \quad A = \frac{d_1^2(d_2^2\sigma_3^2 + d_3^2\sigma_2^2)}{d_2^2 Q}; \quad B = \frac{2d_1^2 d_3 \sigma_2^2}{d_2 Q}; \\ C &= \frac{d_1^2 \sigma_2^2 + d_2^2 \sigma_1^2}{Q}; \quad Q = d_1^2 \sigma_2^2 \sigma_3^2 + d_2^2 \sigma_1^2 \sigma_3^2 + d_3^2 \sigma_1^2 \sigma_2^2. \end{aligned}$$

Заметим, что (10) представляет собой интеграл от двумерной нормальной плотности с координатами центра рассеивания  $(0, 0)$ , средними квадратическими отклонениями

$$\Sigma_1 = \frac{d_2 V \bar{Q}}{d_1} [(d_2^2 \sigma_3^2 + d_3^2 \sigma_2^2)(1 + d_1^2 d_3^2 \sigma_2^4)]^{-1/2}$$

и

$$\Sigma_2 = V \bar{Q} [(d_1^2 \sigma_2^2 + d_2^2 \sigma_1^2)(1 + d_1^2 d_3^2 \sigma_2^4)]^{-1/2}$$

и коэффициентом корреляции

$$R = -d_1 d_3 \sigma_2^2 [1 + d_1^2 d_3^2 \sigma_2^4]^{-1/2}.$$

Отсюда следует, в частности, что в выражении (10) главное значение имеет слагаемое при  $k=0$ , а остальные с ростом  $|k|$  быстро убывают.

Значение  $d_2$ , при котором  $P_{d_2}\{\Delta_3=0\}$ , достигает максимума, удовлетворяет довольно сложному уравнению, куда, помимо рациональных функций от  $d_2$ , входят и функции, представляющие собой нормальную плотность, и интегралы от нее. Поэтому данное уравнение не выписывается здесь явно, а задача максимизации (10) решается численно.

Таблица 1

$\sigma_1 = \sigma_2 = \sigma_3$	0,01	0,02	0,03	0,04	0,05	0,06	$\sigma_1 = 0,02; \sigma_2 = 0,04; \sigma_3 = 0,06$
$d_{2\max}$	3,5	3,5	3,5	3,5	3,5	3,5	5,0
$\max P_{d_2}\{\Delta_3=0\}$	1	0,999	0,961	0,847	0,705	0,575	0,970

В табл. 1 приводятся значения  $d_2$ , максимизирующие вероятность  $P_{d_2}\{\Delta_3 = 0\}$  и само значение этой вероятности для  $d_1=0,5$ ,  $d_3=25$  при некоторых значениях  $\sigma_1$ ,  $\sigma_2$  и  $\sigma_3$ . На рисунке показана зависимость  $P_{d_2}\{\Delta_3 = 0\}$  от  $d_2$  при  $\sigma_1=0,02$ ;  $\sigma_2=0,04$ ;  $\sigma_3=0,06$  (кривая 1),  $\sigma_1=\sigma_2=\sigma_3=0,03$  (кривая 2) и  $\sigma_1=\sigma_2=\sigma_3=0,06$  (кривая 3). Заметим, что при значительных отклонениях  $d_2$  от оптимального значения вероятность  $P_{d_2}\{\Delta_3 = 0\}$  существенно уменьшается.

Рассмотрим приближенное решение примера с иной точки зрения. Пока мы не будем искать оптимальное значение параметра  $d_2$ , а оценим лишь вероятность  $P\{\Delta_3=0\}$  того, что параметр  $k_3$  определяется правильно (аномальная ошибка отсутствует). Дополнительно сделаем следующие предположения, незначительно ограничивающие общность рассуждений.

- 1) Дисперсии случайных величин  $\psi_i$  совпадают ( $\sigma_i=\sigma$ ,  $i=1, 2, 3$ ).
- 2) Отношение  $d_{i+1}/d_i$ ,  $i=1, 2$ , постоянно и равно целому числу ( $d_2/d_1=d_3/d_2=h$ ).

Последнее условие ( $h$  — целое число), как указывалось ранее, приводит к тому, что  $\Delta_3$  имеет вид

$$\Delta_3=h[h\psi_1-\psi_2+0,5]^++[h\psi_2-\psi_3+0,5]^+.$$

Вычислим теперь приближенно

$$\begin{aligned} P\{\Delta_3=0\} &= P\{h[h\psi_1-\psi_2+0,5]^++[h\psi_2-\psi_3+0,5]^+=0\}= \\ &= \sum_{n=-\infty}^{\infty} P\{[h\psi_1-\psi_2+0,5]^+=n; [h\psi_2-\psi_3+0,5]^+=-hn\}= \\ &= \sum_{n=-\infty}^{\infty} P\{n-0,5 \leq \xi_1 < n+0,5; -hn-0,5 \leq \xi_2 < -hn+0,5\}, \end{aligned}$$

где  $\xi_1=h\psi_1-\psi_2$ ,  $\xi_2=h\psi_2-\psi_3$  представляют собой нормально распределенные случайные величины с параметрами 0 и  $\sigma\sqrt{h^2+1} \approx h\sigma$ . Заметим также, что при  $h$ , достаточно большом,  $\xi_1$  определяется в основном случайной величиной  $\psi_1$ , а  $\xi_2$  — соответственно случайной величиной  $\psi_2$ . Так как  $\psi_1$  и  $\psi_2$  независимы, то можно считать независимыми и случайные величины  $\xi_1$  и  $\xi_2$ . Нетрудно видеть, что коэффициент корреляции  $\xi_1$  и  $\xi_2$  равен

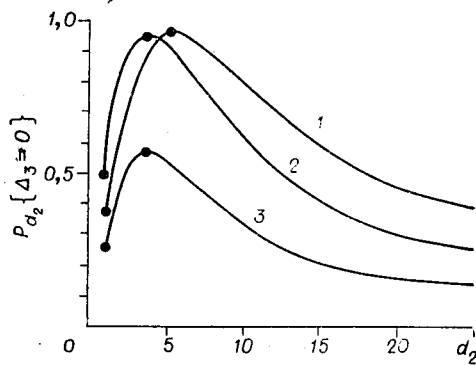
$$r_{\xi_1, \xi_2} = -h/(h^2 + 1) \approx -1/h.$$

Учитывая сказанное, будем иметь

$$\begin{aligned} P\{\Delta_3=0\} &\approx \sum_{n=-\infty}^{\infty} P\{n-0,5 \leq \xi_1 < n+0,5\} P\{-hn- \\ &-0,5 \leq \xi_2 < -hn+0,5\}. \end{aligned}$$

В последней сумме при  $\sigma$ , достаточно малом, и  $h$ , достаточно большом,

$$P\{-hn-0,5 \leq \xi_2 < -hn+0,5\} \approx 0$$



Зависимость вероятности правильного устранения многозначности от изменения шкалы  $d_2$  при фиксированных шкалах  $d_1$  и  $d_3$ .

для всех  $n \neq 0$ , и поэтому

$$P\{\Delta_3=0\} \simeq [P\{-0.5 \leq \xi < 0.5\}]^2,$$

где  $\xi$  имеет то же распределение, что и  $\xi_1$  и  $\xi_2$ , а именно нормальное с параметрами 0 и  $h\sigma$ .

Переходя к стандартному распределению с параметрами (0,1), получим

$$P\{\Delta_3=0\} \simeq [2\Phi(0.5/h\sigma)]^2 \quad (\text{см. [4, 5]}).$$

Здесь

$$\Phi(x) = \frac{1}{\sqrt{2\pi}} \int_0^x e^{-\frac{z^2}{2}} dz.$$

Аналогично рассуждая, можно получить следующую приближенную формулу для случая  $m$  шкал:

$$P\{\Delta_m=0\} \simeq [2\Phi(0.5/h\sigma)]^{m-1}. \quad (11)$$

Приводимая ниже табл. 2 дает зависимость вероятности  $P\{\Delta_m=0\}$  правильного восстановления параметра  $k_m$  как функции от среднеквадратической ошибки  $\sigma$  случайных величин  $\psi_i$ ,  $i=1, m$ , при  $d_1=0.5$ ,  $h=7$ ,  $m=3, 4$ . Результаты получены с использованием приближенной формулы (11) и достаточно хорошо совпадают с данными табл. 1.

Т а б л и ц а 2

$\sigma$	0,01	0,02	0,03	0,04	0,05	0,06
$P\{\Delta_3=0\}$	1	0,9992	0,966	0,859	0,718	0,587
$P\{\Delta_4=0\}$	1	0,9988	0,949	0,796	0,608	0,450

Используя только что описанную приближенную методику, покажем на примере, как добавление промежуточной шкалы увеличивает надежность правильного восстановления параметра  $k_m$ . Для оценки  $P\{\Delta_3=0\}$  выберем  $h=8$ , а для оценки  $P\{\Delta_4=0\}$  возьмем  $h=4$ . Тогда в обоих вариантах последние шкалы совпадают и при  $d_1=0.5$  равны 32. Зависимость указанных вероятностей от  $\sigma$  приведена в табл. 3.

Т а б л и ц а 3

$\sigma$	0,01	0,02	0,03	0,04	0,05	0,06
$P\{\Delta_3=0\}$	1	0,996	0,927	0,778	0,622	0,494
$P\{\Delta_4=0\}$	1	1	1	0,995	0,963	0,892

Пусть теперь  $d_{i+1}/d_i=h_i$  и  $\sqrt{D\psi_i}=\sigma_i$ ,  $i=1, m-1$ . Тогда формула (11) приобретает вид

$$P\{\Delta_m=0\} \simeq 2^{m-1} \prod_{i=1}^{m-1} \Phi\left(\frac{0.5}{h_i \sigma_i}\right).$$

Нетрудно видеть, что вероятность  $P\{\Delta_m=0\}$ , задаваемая последним соотношением, достигает максимума при

$$h_k = \frac{1}{\sigma_k} \left( H \prod_{i=1}^{m-1} \sigma_i \right)^{\frac{1}{m-1}}, \quad k = \overline{1, m-1}, \quad (12)$$

где  $H = \prod_{i=1}^{m-1} h_i = d_m/d_1 = \text{const.}$

Формула (12) может быть использована в качестве первого приближения при выборе оптимального соотношения шкал. В частности, если  $\sigma_i = \sigma$  для всех  $i = \overline{1, m-1}$ , то

$$h_k = H^{\frac{1}{m-1}} \quad \text{и} \quad d_k = \left( \frac{d_m}{d_1} \right)^{\frac{k-1}{m-1}} d_1.$$

По указанной приближенной методике при  $\sigma_1 = 0,02$ ;  $\sigma_2 = 0,04$ ;  $\sigma_3 = 0,06$  и  $d_1 = 0,5$ ;  $d_3 = 25$  оптимальное значение  $d_2$  равно 5, при этом  $P\{\Delta_3 = 0\} = 0,975$ , что хорошо согласуется с данными табл. 1.

Автор выражает признательность В. Л. Макарову за полезные обсуждения, Д. В. Усовскому и В. Г. Шелепову за проведенные расчеты.

#### ЛИТЕРАТУРА

1. Глобенко Ю. В., Скрыпник Г. И. О разрешении неоднозначности циклических измерений.—«Автометрия», 1972, № 4, с. 69—82.
2. Тетнев Г. С. К вопросу о выборе параметров многошкальных измерительных систем.—«Радиотехника и электроника», 1965, № 9, с. 1710—1712.
3. Тененбаум М. М., Созин А. С. К вопросу о точности двухшкальных измерительных систем.—«Радиотехника и электроника», 1968, № 9, с. 1591—1596.
4. Скрыпник Г. И., Серова А. А., Атаев Д. И. О надежности устранения многозначности фазовых измерений.—«Радиотехника и электроника», 1968, № 10, с. 1753—1761.
5. Собцов Н. В. Оценка максимального правдоподобия в многошкальной измерительной системе.—«Радиотехника и электроника», 1972, № 10, с. 2076—2083.

Поступила в редакцию 7 июня 1977 г.

УДК 551.46.083

С. В. ДОЦЕНКО, Б. А. НЕЛЕПО, М. Г. ПОПЛАВСКАЯ  
(Севастополь)

#### МЕТОД ОПТИМАЛЬНОЙ КОРРЕКЦИИ СИГНАЛОВ ДИСТАНЦИОННЫХ ПРИБОРОВ С УЧЕТОМ ФЛУКТУАЦИОННЫХ ШУМОВ

Дистанционные приборы, установленные на ИСЗ, производят осреднение измеряемого поля в пределах элемента разрешения, размеры которого довольно велики в сравнении с характерным масштабом поля. Это приводит к подавлению в выходном сигнале прибора высокочастотных составляющих спектра пространственных неоднородностей поля. Поэтому применение таких приборов для исследования тонкой структуры физических полей поверхности океана затруднительно.

Приближение формы выходного сигнала прибора к форме измеряемого поля в центре элемента разрешения его датчика может быть осуществлено с помощью линейной коррекции выходного сигнала. Решение такой задачи хорошо известно применительно к измерению одномерных процессов (обычно функции времени) [1]. Специфика же рас-